

1 Formulação do problema

Dados $f : [0, 1] \rightarrow \mathbb{R}$ e constantes reais $\alpha > 0$ e $\beta \geq 0$, determine $u : [0, 1] \rightarrow \mathbb{R}$ tal que

$$\begin{cases} -\alpha u_{xx}(x) + \beta u(x) = f(x), & x \in]0, 1[, \\ u(0) = u(1) = 0. \end{cases} \quad (1)$$

Exemplos de solução exata para o problema em (1):

- Ex. 1. Se $f(x) = -2\alpha + \beta x(x - 1)$, então $u(x) = x(x - 1)$.
- Ex. 2. Se $f(x) = (\alpha\pi^2 + \beta) \sin(\pi x)$, então $u(x) = \sin(\pi x)$.
- Ex. 3. Se $\alpha = 1$, $\beta = 0$ e $f(x) = 8$, então $u(x) = -4x(x - 1)$.
- Ex. 4. Se $\alpha = \beta = 1$ e $f(x) = x$, então $u(x) = x + \frac{e^{-x} - e^x}{e - e^{-1}}$.

2 Problema aproximado - via método de Galerkin

Dados $f : [0, 1] \rightarrow \mathbb{R}$ e constantes reais $\alpha > 0$ e $\beta \geq 0$, determine $u_h \in V_m = [\varphi_1, \varphi_2, \dots, \varphi_m]$ tal que

$$\alpha \int_0^1 \frac{du_h}{dx}(x) \frac{dv_h}{dx}(x) dx + \beta \int_0^1 u_h(x) v_h(x) dx = \int_0^1 f(x) v_h(x) dx, \quad \forall v_h \in V_m. \quad (2)$$

2.1 Formulação matricial

Tomando $u_h(x) = \sum_{j=1}^m c_j \varphi_j(x)$ e $v_h = \varphi_i$, para $i = 1, 2, \dots, m$, em (2), temos a forma matriz-vetor do problema aproximado, isto é, determinar um vetor $c \in \mathbb{R}^m$ tal que

$$Kc = F,$$

em que, para $i, j \in \{1, 2, \dots, m\}$,

$$K_{i,j} = \alpha \int_0^1 \frac{d\varphi_i}{dx}(x) \frac{d\varphi_j}{dx}(x) dx + \beta \int_0^1 \varphi_i(x) \varphi_j(x) dx \quad \text{e} \quad F_i = \int_0^1 f(x) \varphi_i(x) dx.$$

3 Função base linear por partes

Dado $m \in \mathbb{N}$, considere a discretização uniforme do intervalo $[0, 1]$, dada por $0 = x_0 < x_1 < \dots < x_{m+1} = 1$, onde cada subintervalo tem comprimento $h = 1/(m+1)$.

Para cada $i \in \{1, \dots, m\}$, defina

$$\varphi_i(x) = \begin{cases} \frac{x - x_{i-1}}{h}, & \forall x \in [x_{i-1}, x_i], \\ \frac{x_{i+1} - x}{h}, & \forall x \in [x_i, x_{i+1}], \\ 0, & \forall x \notin [x_{i-1}, x_{i+1}]. \end{cases} \quad \text{e} \quad \frac{d\varphi_i}{dx}(x) = \begin{cases} \frac{1}{h}, & \forall x \in]x_{i-1}, x_i[, \\ -\frac{1}{h}, & \forall x \in]x_i, x_{i+1}[, \\ 0, & \forall x \notin]x_{i-1}, x_{i+1}[. \end{cases}$$

Segue o gráfico de cada função φ_i :

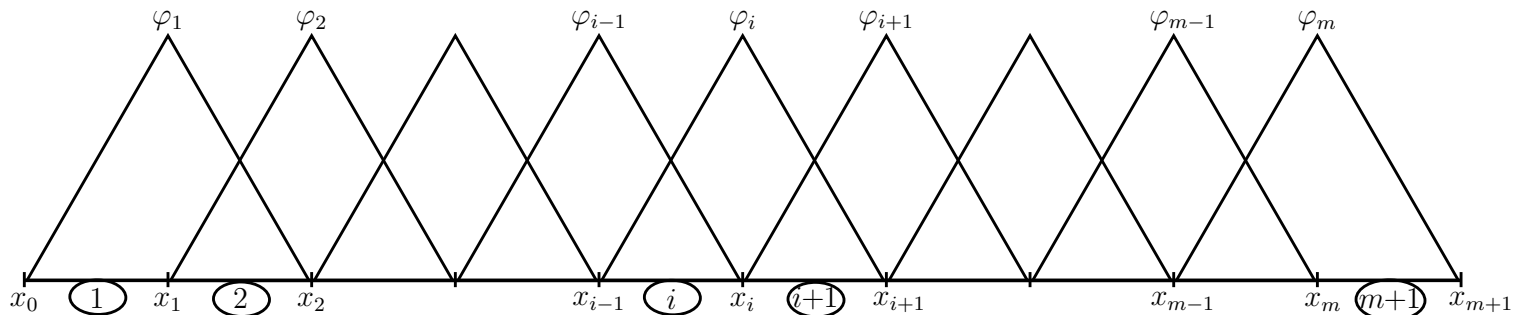


Figura 1: Função base linear por partes.

3.1 Cálculo da matriz K

Nesse caso específico de funções base lineares por parte, os únicos elementos possivelmente não nulos da matriz K são $K_{i,i}$, $K_{i,i+1}$ e $K_{i+1,i}$. Ademais, dado que K é uma matriz simétrica, basta calcular $K_{i,i}$ e $K_{i,i+1}$.

Para os elementos da diagonal, note que

$$\begin{aligned} K_{i,i} &= \alpha \int_0^1 \frac{d\varphi_i}{dx}(x) \frac{d\varphi_i}{dx}(x) dx + \beta \int_0^1 \varphi_i(x) \varphi_i(x) dx \\ &= \alpha \left[\int_{x_{i-1}}^{x_i} \left(\frac{1}{h} \right)^2 dx + \int_{x_i}^{x_{i+1}} \left(\frac{-1}{h} \right)^2 dx \right] + \beta \left[\int_{x_{i-1}}^{x_i} \left(\frac{x - x_{i-1}}{h} \right)^2 dx + \int_{x_i}^{x_{i+1}} \left(\frac{x_{i+1} - x}{h} \right)^2 dx \right] \\ &= \frac{\alpha}{h^2} \left[\int_{x_{i-1}}^{x_i} dx + \int_{x_i}^{x_{i+1}} dx \right] + \frac{\beta}{h^2} \left[\int_{x_{i-1}}^{x_i} (x - x_{i-1})^2 dx + \int_{x_i}^{x_{i+1}} (x_{i+1} - x)^2 dx \right] \\ &= \frac{2\alpha}{h} + \frac{\beta}{h^2} \left[\frac{(x - x_{i-1})^3}{3} \Big|_{x_{i-1}}^{x_i} - \frac{(x_{i+1} - x)^3}{3} \Big|_{x_i}^{x_{i+1}} \right] \\ &= \frac{2\alpha}{h} + \frac{\beta}{h^2} \left[\frac{h^3}{3} + \frac{h^3}{3} \right] \\ &= \frac{2\alpha}{h} + \frac{2\beta h}{3}. \end{aligned}$$

Quanto aos elementos $K_{i,i+1}$, temos

$$\begin{aligned} K_{i,i+1} &= \alpha \int_0^1 \frac{d\varphi_i}{dx}(x) \frac{d\varphi_{i+1}}{dx}(x) dx + \beta \int_0^1 \varphi_i(x) \varphi_{i+1}(x) dx \\ &= \alpha \int_{x_i}^{x_{i+1}} \frac{d\varphi_i}{dx}(x) \frac{d\varphi_{i+1}}{dx}(x) dx + \beta \int_{x_i}^{x_{i+1}} \varphi_i(x) \varphi_{i+1}(x) dx \\ &= \alpha \int_{x_i}^{x_{i+1}} \left(\frac{-1}{h} \right) \left(\frac{1}{h} \right) dx + \beta \int_{x_i}^{x_{i+1}} \left(\frac{x_{i+1} - x}{h} \right) \left(\frac{x - x_i}{h} \right) dx \\ &= -\frac{\alpha}{h} + \frac{\beta}{h^2} \int_{x_i}^{x_{i+1}} (x_i + h - x)(x - x_i) dx \\ &= -\frac{\alpha}{h} + \frac{\beta}{h^2} \left[\int_{x_i}^{x_{i+1}} h(x - x_i) dx - \int_{x_i}^{x_{i+1}} (x - x_i)^2 dx \right] \\ &= -\frac{\alpha}{h} + \frac{\beta}{h^2} \left[\frac{h(x - x_i)^2}{2} \Big|_{x_i}^{x_{i+1}} - \frac{(x - x_i)^3}{3} \Big|_{x_i}^{x_{i+1}} \right] \\ &= -\frac{\alpha}{h} + \frac{\beta}{h^2} \left[\frac{h^3}{2} - \frac{h^3}{3} \right] \\ &= -\frac{\alpha}{h} + \frac{\beta h}{6} \end{aligned}$$

3.2 Cálculo do vetor força F

3.2.1 Caso em que $f(x) = 8$

$$F_i = \int_0^1 f(x) \varphi_i(x) dx = 8 \int_0^1 \varphi_i(x) dx = 8 \int_{x_{i-1}}^{x_{i+1}} \varphi_i(x) dx = 8h.$$

3.2.2 Caso em que $f(x) = x$

$$\begin{aligned}
F_i &= \int_0^1 f(x) \varphi_i(x) dx = \int_{x_{i-1}}^{x_i} x \frac{x - x_{i-1}}{h} dx + \int_{x_i}^{x_{i+1}} x \frac{x_{i+1} - x}{h} dx \\
&= \frac{1}{h} \int_{x_{i-1}}^{x_i} (x - x_{i-1} + x_{i-1})(x - x_{i-1}) dx - \frac{1}{h} \int_{x_i}^{x_{i+1}} (x - x_{i+1} + x_{i+1})(x - x_{i+1}) dx \\
&= \frac{1}{h} \int_{x_{i-1}}^{x_i} \left((x - x_{i-1})^2 + x_{i-1}(x - x_{i-1}) \right) dx - \frac{1}{h} \int_{x_i}^{x_{i+1}} \left((x - x_{i+1})^2 + x_{i+1}(x - x_{i+1}) \right) dx \\
&= \frac{1}{h} \left(\frac{(x - x_{i-1})^3}{3} + x_{i-1} \frac{(x - x_{i-1})^2}{2} \right) \Big|_{x_{i-1}}^{x_i} - \frac{1}{h} \left(\frac{(x - x_{i+1})^3}{3} + x_{i+1} \frac{(x - x_{i+1})^2}{2} \right) \Big|_{x_i}^{x_{i+1}} \\
&= \frac{1}{h} \left(\frac{h^3}{3} + x_{i-1} \frac{h^2}{2} \right) - \frac{1}{h} \left(\frac{h^3}{3} - x_{i+1} \frac{h^2}{2} \right) \\
&= x_{i-1} \frac{h}{2} + x_{i+1} \frac{h}{2} \\
&= h \frac{x_{i-1} + x_{i+1}}{2} \\
&= hx_i.
\end{aligned}$$

3.2.3 Caso geral via quadratura gaussiana

$$\begin{aligned}
F_i &= \int_0^1 f(x) \varphi_i(x) dx = \int_{x_{i-1}}^{x_i} f(x) \frac{x - x_{i-1}}{h} dx + \int_{x_i}^{x_{i+1}} f(x) \frac{x_{i+1} - x}{h} dx \\
&= \int_{-1}^1 f(x(\xi, i)) \frac{x(\xi, i) - x_{i-1}}{h} \frac{h}{2} d\xi + \int_{-1}^1 f(x(\xi, i+1)) \frac{x_{i+1} - x(\xi, i+1)}{h} \frac{h}{2} d\xi \\
&= \frac{h}{2} \int_{-1}^1 f(x(\xi, i)) \frac{\xi + 1}{2} d\xi + \frac{h}{2} \int_{-1}^1 f(x(\xi, i+1)) \frac{1 - \xi}{2} d\xi \\
&= \frac{h}{2} \int_{-1}^1 f(x(\xi, i)) \phi_2(\xi) d\xi + \frac{h}{2} \int_{-1}^1 f(x(\xi, i+1)) \phi_1(\xi) d\xi \\
&\approx \frac{h}{2} \sum_{j=1}^{n_{pg}} W_j \left[f(x(P_j, i)) \phi_2(P_j) + f(x(P_j, i+1)) \phi_1(P_j) \right],
\end{aligned}$$

em que $\{P_1, P_2, \dots, P_{n_{pg}}\}$ e $\{W_1, W_2, \dots, W_{n_{pg}}\}$ são os pontos e pesos de gauss.

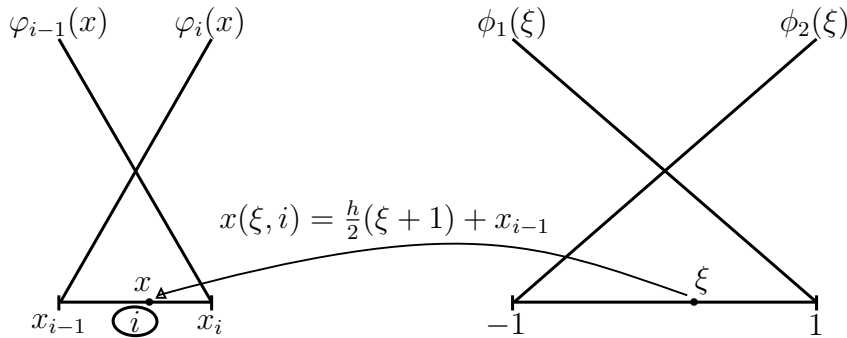


Figura 2: Mudança de variável. $\phi_1(\xi) = (1 - \xi)/2$ e $\phi_2(\xi) = (1 + \xi)/2$.

3.3 Cálculo do erro

O erro entre a solução exata e aproximada na norma do espaço $L^2(]0, 1[)$ é dado por

$$\|u - u_h\| = \sqrt{\int_0^1 |u(x) - u_h(x)|^2 dx}.$$

Dessa forma, denotando $\mathcal{E}_h = \|u - u_h\|$, note que:

$$\begin{aligned} \mathcal{E}_h^2 &= \int_0^1 |u(x) - u_h(x)|^2 dx \\ &= \sum_{i=1}^{m+1} \int_{x_{i-1}}^{x_i} |u(x) - u_h(x)|^2 dx \\ &= \sum_{i=1}^{m+1} \int_{x_{i-1}}^{x_i} |u(x) - \sum_{j=1}^m c_j \varphi_j(x)|^2 dx \\ &= \int_{x_0}^{x_1} |u(x) - c_1 \varphi_1(x)|^2 dx + \sum_{i=2}^m \int_{x_{i-1}}^{x_i} |u(x) - c_{i-1} \varphi_{i-1}(x) - c_i \varphi_i(x)|^2 dx + \int_{x_m}^{x_{m+1}} |u(x) - c_m \varphi_m(x)|^2 dx \\ &= \frac{h}{2} \left[\int_{-1}^1 |u(x(\xi, 1)) - c_1 \phi_2(\xi)|^2 d\xi + \sum_{i=2}^m \int_{-1}^1 |u(x(\xi, i)) - c_{i-1} \phi_1(\xi) - c_i \phi_2(\xi)|^2 d\xi + \int_{-1}^1 |u(x(\xi, m+1)) - c_m \phi_1(\xi)|^2 d\xi \right]. \end{aligned}$$

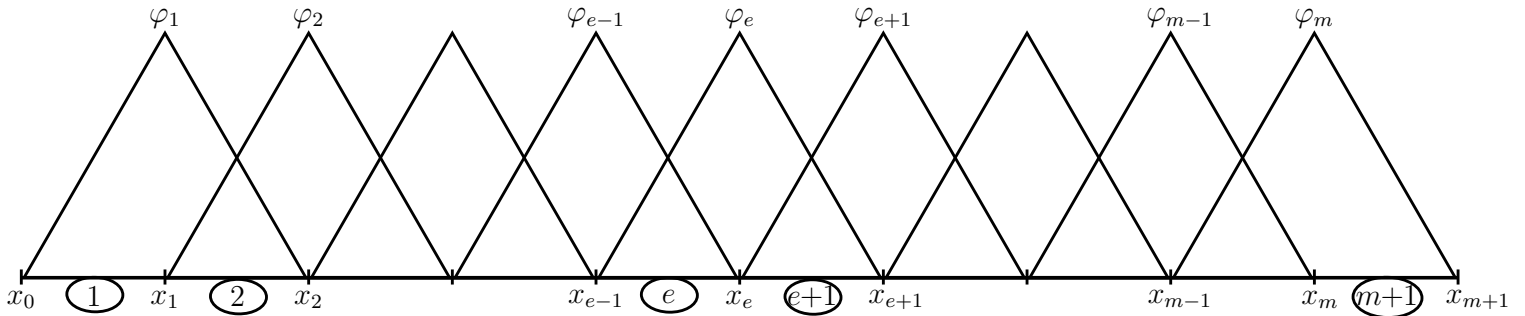
Daí, aplicando quadratura gaussiana, obtemos:

$$\begin{aligned} \mathcal{E}_h^2 &= \frac{h}{2} \left[\sum_{j=1}^{n_{pg}} W_j |u(x(P_j, 1)) - c_1 \phi_2(P_j)|^2 \right. \\ &\quad + \sum_{i=2}^m \sum_{j=1}^{n_{pg}} W_j |u(x(P_j, i)) - c_{i-1} \phi_1(P_j) - c_i \phi_2(P_j)|^2 \\ &\quad \left. + \sum_{j=1}^{n_{pg}} W_j |u(x(P_j, m+1)) - c_m \phi_1(P_j)|^2 \right]. \end{aligned}$$

Podemos reescrever a expressão acima de forma mais compacta considerando $\bar{c} = [0; c; 0]$. Nesse caso, temos

$$\mathcal{E}_h^2 = \frac{h}{2} \sum_{i=1}^{m+1} \sum_{j=1}^{n_{pg}} W_j |u(x(P_j, i)) - \bar{c}_i \phi_1(P_j) - \bar{c}_{i+1} \phi_2(P_j)|^2$$

4 Matriz local e força local



Definimos a matriz global K e o vetor global F como

$$K_{i,j} = \alpha \int_0^1 \frac{d\varphi_i}{dx}(x) \frac{d\varphi_j}{dx}(x) dx + \beta \int_0^1 \varphi_i(x) \varphi_j(x) dx \quad \text{e} \quad F_i = \int_0^1 f(x) \varphi_i(x) dx,$$

com $i, j \in \{1, 2, \dots, m\}$. Com isso, dado que a integral sobre o domínio $[0, 1]$ pode ser escrita como a soma das integrais sobre cada subintervalo, temos que

$$K = \sum_{e=1}^{m+1} \mathcal{K}^e \quad \text{e} \quad F = \sum_{e=1}^{m+1} \mathcal{F}^e,$$

onde,

$$\mathcal{K}_{i,j}^e = \alpha \int_{x_{e-1}}^{x_e} \frac{d\varphi_i}{dx}(x) \frac{d\varphi_j}{dx}(x) dx + \beta \int_{x_{e-1}}^{x_e} \varphi_i(x) \varphi_j(x) dx \quad \text{e} \quad \mathcal{F}_i^e = \int_{x_{e-1}}^{x_e} f(x) \varphi_i(x) dx,$$

para $i, j \in \{1, 2, \dots, m\}$.

\mathcal{K}^e e \mathcal{F}^e representam a contribuição local do e -ésimo subintervalo para a matriz global K e para o vetor global F , respectivamente. Observe que, pela definição das funções φ ,

$$\mathcal{K}_{i,j}^e = 0, \quad \text{se } i \notin \{e-1, e\} \text{ ou } j \notin \{e-1, e\}, \quad \text{e} \quad \mathcal{F}_i^e = 0, \quad \text{se } i \notin \{e-1, e\}.$$

Assim sendo, dado que a maioria das entradas de \mathcal{K}^e e \mathcal{F}^e é zero, é apropriado definir apenas a parte não necessariamente nula de \mathcal{K}^e e \mathcal{F}^e . Faremos isso utilizando uma notação local para as funções da base. A relação entre a notação local e global está ilustrada na Figura 3.

$$K_{a,b}^e = \alpha \int_{x_1^e}^{x_2^e} \frac{d\varphi_a^e}{dx}(x) \frac{d\varphi_b^e}{dx}(x) dx + \beta \int_{x_1^e}^{x_2^e} \varphi_a^e(x) \varphi_b^e(x) dx \quad \text{e} \quad F_a^e = \int_{x_1^e}^{x_2^e} f(x) \varphi_a^e(x) dx, \quad \text{com } a, b \in \{1, 2\}.$$

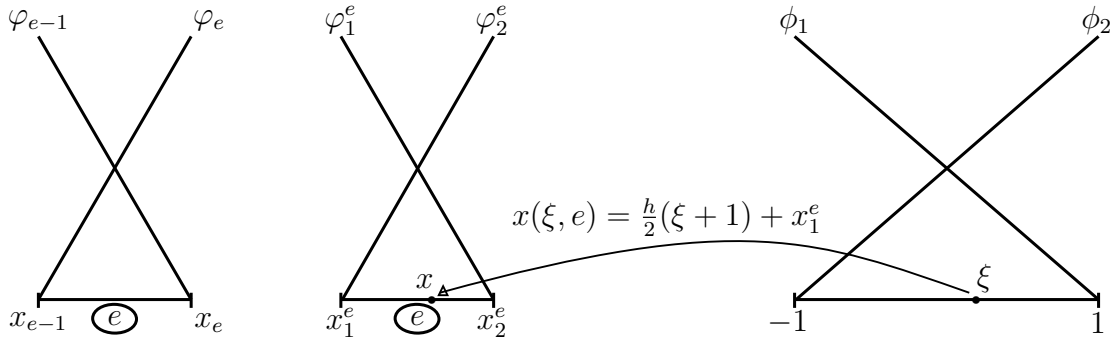


Figura 3: Elemento global, local e padrão referente a base linear.

Podemos construir a matriz global K a partir das matrizes locais K^e observando que:

$$K_{e,e} = K_{2,2}^e + K_{1,1}^{e+1}, \quad \text{para } e \in \{1, 2, \dots, m\},$$

$$K_{e,e+1} = K_{1,2}^{e+1}, \quad \text{para } e \in \{1, 2, \dots, m-1\},$$

$$K_{e+1,e} = K_{2,1}^{e+1}, \quad \text{para } e \in \{1, 2, \dots, m-1\}.$$

Para construir o vetor global F a partir dos vetores locais F^e , basta notar que:

$$F_e = F_2^e + F_1^{e+1}, \quad \text{para } e \in \{1, 2, \dots, m\}.$$

4.1 Cálculo da matriz local K^e via quadratura gaussiana

$$\begin{aligned} K_{a,b}^e &= \alpha \int_{x_1^e}^{x_2^e} \frac{d\varphi_a^e}{dx}(x) \frac{d\varphi_b^e}{dx}(x) dx + \beta \int_{x_1^e}^{x_2^e} \varphi_a^e(x) \varphi_b^e(x) dx \\ &= \alpha \int_{-1}^1 \frac{d\varphi_a^e}{dx}(x(\xi, e)) \frac{d\varphi_b^e}{dx}(x(\xi, e)) \frac{h}{2} d\xi + \beta \int_{-1}^1 \varphi_a^e(x(\xi, e)) \varphi_b^e(x(\xi, e)) \frac{h}{2} d\xi \\ &= \alpha \int_{-1}^1 \frac{d\phi_a}{d\xi}(\xi) \frac{2}{h} \frac{d\phi_b}{d\xi}(\xi) \frac{2}{h} \frac{h}{2} d\xi + \beta \int_{-1}^1 \phi_a(\xi) \phi_b(\xi) \frac{h}{2} d\xi \\ &= \frac{2\alpha}{h} \int_{-1}^1 \frac{d\phi_a}{d\xi}(\xi) \frac{d\phi_b}{d\xi}(\xi) d\xi + \frac{\beta h}{2} \int_{-1}^1 \phi_a(\xi) \phi_b(\xi) d\xi \\ &= \frac{2\alpha}{h} \sum_{j=1}^{n_{pg}} W_j \frac{d\phi_a}{d\xi}(P_j) \frac{d\phi_b}{d\xi}(P_j) + \frac{\beta h}{2} \sum_{j=1}^{n_{pg}} W_j \phi_a(P_j) \phi_b(P_j). \end{aligned}$$

Observação: Temos que $\phi_a(\xi) = \varphi_a^e(x(\xi, e))$. Derivando ambos os lados dessa igualdade em relação a ξ e aplicando a regra da cadeia no lado direito da igualdade, obtemos $\frac{d\phi_a}{d\xi}(\xi) = \frac{d\varphi_a^e}{dx}(x(\xi, e)) \frac{dx}{d\xi}(\xi, e)$. Daí, como $\frac{dx}{d\xi}(\xi, e) = h/2$, segue que $\frac{d\varphi_a^e}{dx}(x(\xi, e)) = \frac{d\phi_a}{d\xi}(\xi) \frac{2}{h}$.

4.2 Cálculo do vetor local F^e via quadratura gaussiana

$$\begin{aligned} F_a^e &= \int_{x_1^e}^{x_2^e} f(x) \varphi_a^e(x) dx \\ &= \int_{-1}^1 f(x(\xi, e)) \varphi_a^e(x(\xi, e)) \frac{h}{2} d\xi \\ &= \frac{h}{2} \int_{-1}^1 f(x(\xi, e)) \phi_a(\xi) d\xi \\ &\approx \frac{h}{2} \sum_{j=1}^{n_{pg}} W_j f(x(P_j, e)) \phi_a(P_j). \end{aligned}$$

4.3 Montagem da matriz global K a partir da matriz local K^e

```
Calcula uma matriz local  $K^e$ ;  
Inicializa a matriz global  $K$  como  $\text{zeros}(m, m)$ ;  
for  $e = 2 : m$  do  
|  $K[e-1, e-1] += K^e[1, 1]$   
|  $K[e, e-1] += K^e[2, 1]$   
|  $K[e-1, e] += K^e[1, 2]$   
|  $K[e, e] += K^e[2, 2]$   
end  
for  $e=1$  do  
|  $K[e, e] += K^e[2, 2]$   
end  
for  $e=m+1$  do  
|  $K[e-1, e-1] += K^e[1, 1]$   
end
```

4.4 Montagem do vetor global F a partir do vetor local F^e

Inicializa o vetor global F como $\text{zeros}(m, 1)$;

for $e = 2 : m$ **do**

 Calcula o vetor local F^e ;

$F[e-1] += F^e[1]$

$F[e] += F^e[2]$

end

for $e = 1$ **do**

 Calcula o vetor local F^e ;

$F[e] += F^e[2]$

end

for $e = m + 1$ **do**

 Calcula o vetor local F^e ;

$F[e-1] += F^e[1]$

end